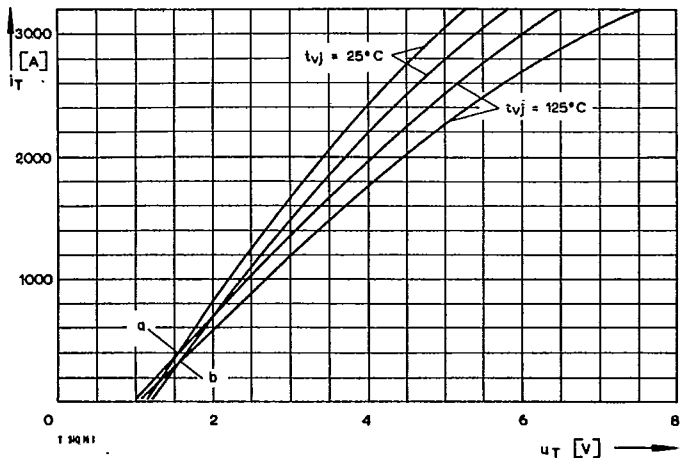


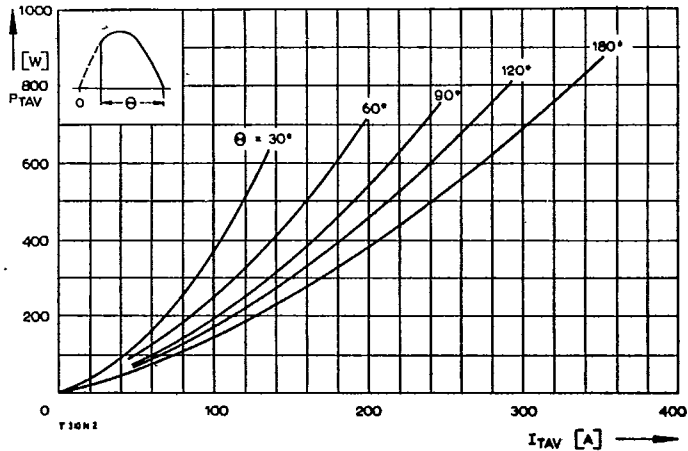
Typenreihe/Type range	T 308 N	2000	2200	2400	2600*
<b>Elektrische Eigenschaften</b>		<b>Electrical properties</b>			
<b>Höchstzulässige Werte</b>		<b>Maximum permissible values</b>			
$U_{DRM}, U_{RRM}$	Periodische Vorwärts- und Rückwärts-Spitzensperrspannung	repetitive peak forward off-state and reverse voltages			2000...2600 V
$I_{TRMSM}$	Effektiver Durchlaßstrom	RMS on-state current			550 A
$I_{TAVM}$	Dauergrenzstrom	average on-state current	$t_C = 85^\circ\text{C}$		308 A
			$t_C = 76^\circ\text{C}$		350 A
$I_{TRM}$	Periodischer Spitzenstrom	repetitive peak on-state current			3200 A
$I_{TSM}$	Stoßstrom-Grenzwert	surge current	$t = 10\text{ ms}, t_M \leq 45^\circ\text{C}$		5000 A
			$t = 10\text{ ms}, t_M = 125^\circ\text{C}$		4500 A
$\int I^2 dt$	Grenzlastintegral	$\int I^2 dt$ -value	$t = 10\text{ ms}, t_M \leq 45^\circ\text{C}$		125000 A <sup>2</sup> s
			$t = 10\text{ ms}, t_M = 125^\circ\text{C}$		100000 A <sup>2</sup> s
$(di/dt)_{cr}$	Kritische Stromsteilheit	critical rate of rise of on-state current	nicht periodisch/non repetitive		700 A/ $\mu\text{s}$
			Dauerbetrieb/continuous operation, $I_{TM} = 1100\text{ A}$		135 A/ $\mu\text{s}$
			Steuergenerator/pulse generator: $U_L = 10\text{ V}, I_G = 1\text{ A}, di_G/dt = 1\text{ A}/\mu\text{s}$		
			$U_D = 67\% U_{DRM}$		
			5. Kennbuchstabe/5th letter <b>C</b>		400 V/ $\mu\text{s}$
			5. Kennbuchstabe/5th letter <b>F</b>		1000 V/ $\mu\text{s}$
<b>Charakteristische Werte</b>		<b>Characteristic values</b>			
$U_T$	Obere Durchlaßspannung	max. on-state voltage	$t_M = 25^\circ\text{C}, I_T = 1100\text{ A}$		2,55 V
$U_{(TO)}$	Schleusenspannung	threshold voltage	$t_M = 125^\circ\text{C}$		1,1 V
$r_T$	Ersatzwiderstand	slope resistance	$t_M = 125^\circ\text{C}$		1,6 m $\Omega$
$U_{GT}$	Obere Zündspannung	max. gate trigger voltage	$t_M = 25^\circ\text{C}, U_D = 6\text{ V}, R_A = 5\ \Omega$		2 V
$I_{GT}$	Oberer Zündstrom	max. gate trigger current	$t_M = 25^\circ\text{C}, U_D = 6\text{ V}, R_A = 5\ \Omega$		200 mA
	Unterer Zündstrom	min. gate trigger current	$t_M = 125^\circ\text{C}, U_D = 6\text{ V}, R_A = 5\ \Omega$		10 mA
$I_H$	Oberer Haltestrom	max. holding current	$t_M = 25^\circ\text{C}, U_D = 6\text{ V}, R_{GK} = 5\ \Omega$		300 mA
$I_L$	Oberer Einraststrom	max. latching current	$t_M = 25^\circ\text{C}, U_D = 6\text{ V}, R_{GK} \geq 10\ \Omega$		1,2 A
			Steuergenerator/pulse generator: $I_G = 1\text{ A}, di_G/dt = 1\text{ A}/\mu\text{s}, t_g = 20\ \mu\text{s}$		
$I_D, I_R$	Oberer Vorwärts- und Rückwärts-Sperrstrom	max. forward off-state and reverse currents	$t_M = 125^\circ\text{C}, U_D = U_{DRM} (U_R = U_{RRM})$		50 mA
$t_{gd}$	Oberer Zündverzug	max. gate controlled delay time	Steuergenerator/pulse generator: $I_G = 1\text{ A}, di_G/dt = 2\text{ A}/\mu\text{s}$		4 $\mu\text{s}$
$t_q$	Typische Freiwerdezeit	typical turn-off time	Prüfbedingungen Seite/test conditions page 21		350 $\mu\text{s}$
$C_{null}$	Typische Nullkapazität	typical zero capacitance	$t_M = 25^\circ\text{C}, f = 10\text{ kHz}$		3 nF
<b>Thermische Eigenschaften</b>		<b>Thermal properties</b>			
$R_{thJC}$	Innerer Wärmewiderstand für beidseitige Kühlung	thermal resistance, junction to case for two-sided cooling	$\Theta = 180^\circ\text{el}, \text{sinus}$		$\leq 0,056^\circ\text{C}/\text{W}$
			DC		$\leq 0,05^\circ\text{C}/\text{W}$
$R_{thJC(A)}$	für anodenseitige Kühlung	for anode-sided cooling	$\Theta = 180^\circ\text{el}, \text{sinus}$		$\leq 0,091^\circ\text{C}/\text{W}$
			DC		$\leq 0,085^\circ\text{C}/\text{W}$
	Betriebstemperatur	operating temperature			$-40^\circ\text{C} \dots +125^\circ\text{C}$
	Lagertemperatur	storage temperature			$-40^\circ\text{C} \dots +150^\circ\text{C}$
<b>Mechanische Eigenschaften</b>		<b>Mechanical properties</b>			
<b>G</b>	Gewicht	weight			100 g
<b>F</b>	Anpreßkraft	clamping force			5500...8000 N
	Maßbild	outline			Seite/page 235
	Kriechstrecke	creepage distance			17 mm
	Feuchtklasse	humidity classification	DIN 40040		C
	Schüttelfestigkeit	vibration resistance	$f = 50\text{ Hz}$		$5 \times 9,81\text{ m/s}^2$

\* Für größere Stückzahlen bitte Liefertermin erfragen/Delivery for larger quantities on request

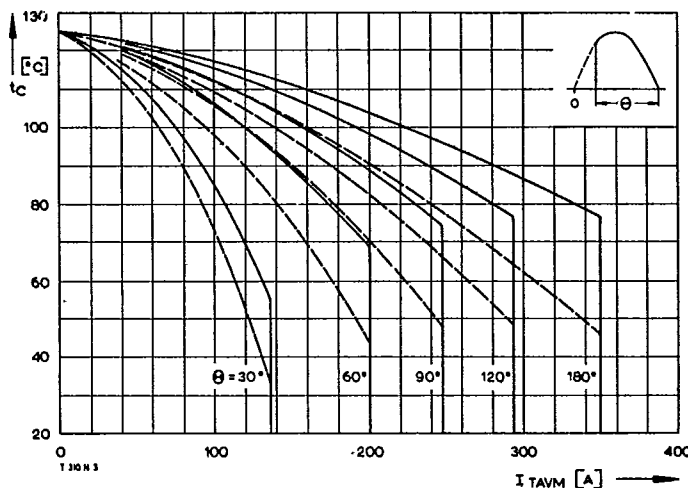
T 308 N



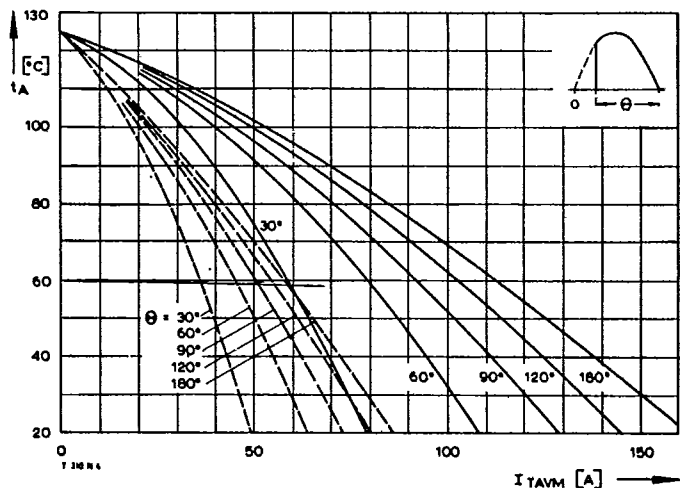
**Bild/Fig. 1**  
Durchlaßkennlinien/On-state characteristics  
a – Typische Kennlinien/typical characteristics  
b – Grenzkennlinien/limiting characteristics



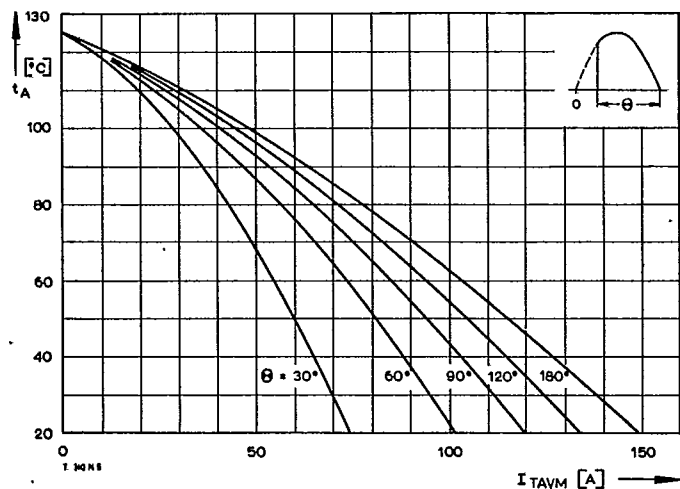
**Bild/Fig. 2**  
Durchlaßverlustleistung  $P_{TAV}$ /On-state power loss  $P_{TAV}$   
Parameter: Stromflußwinkel  $\theta$ /current conduction angle  $\theta$



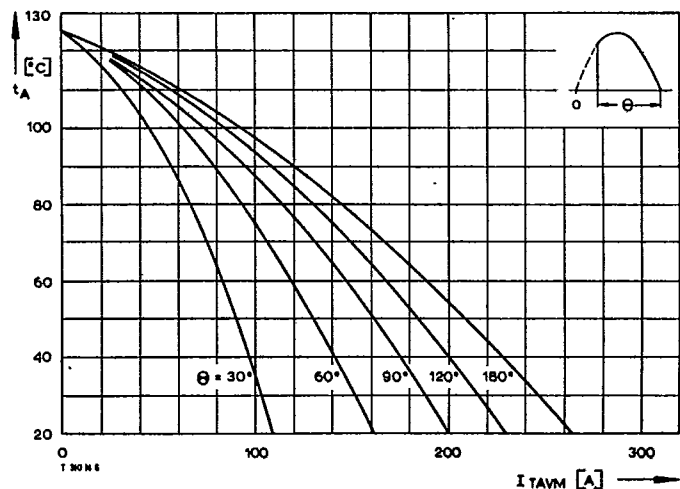
**Bild/Fig. 3**  
Höchstzulässige Gehäusetemperatur  $t_c$   
Maximum allowable case temperature  $t_c$   
----- anodenseitige Kühlung/anode sided cooling  
———— beidseitige Kühlung/two-sided cooling



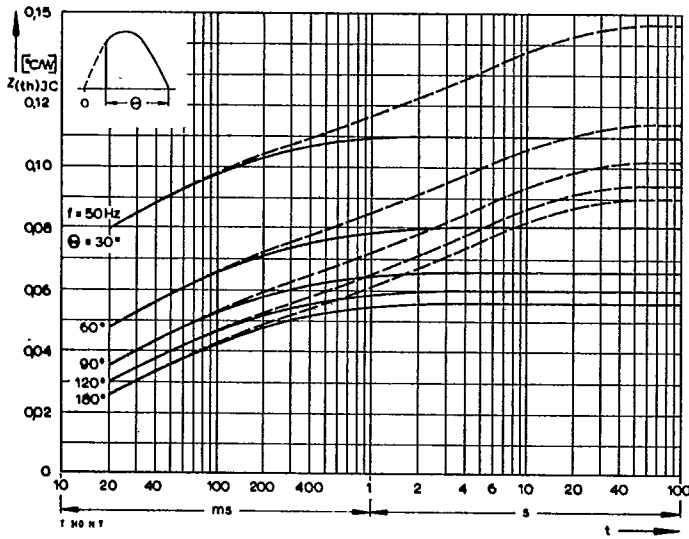
**Bild/Fig. 4**  
Höchstzulässige Kühlmitteltemperatur  $t_A$  bei anodenseitiger Kühlung, Kühlkörper KL 91 C  
Maximum allowable cooling medium temperature  $t_A$  at anode side cooling, heatsink type KL 91 C  
----- Luftselbstkühlung/natural cooling  
———— verstärkte Kühlung/forced cooling,  $V_L = 50$  l/s



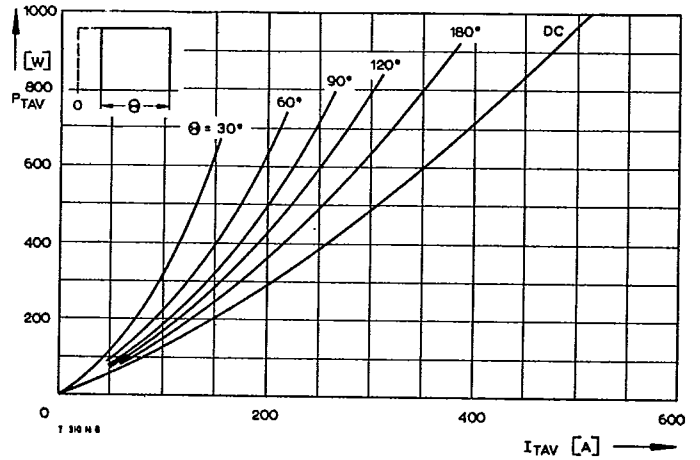
**Bild/Fig. 5**  
Höchstzulässige Kühlmitteltemperatur  $t_A$  bei beidseitiger Luftselbstkühlung, Kühlkörper K 0,36 S.  
Maximum allowable cooling medium temperature  $t_A$  at natural two-sided cooling, heatsink type K 0.36 S.



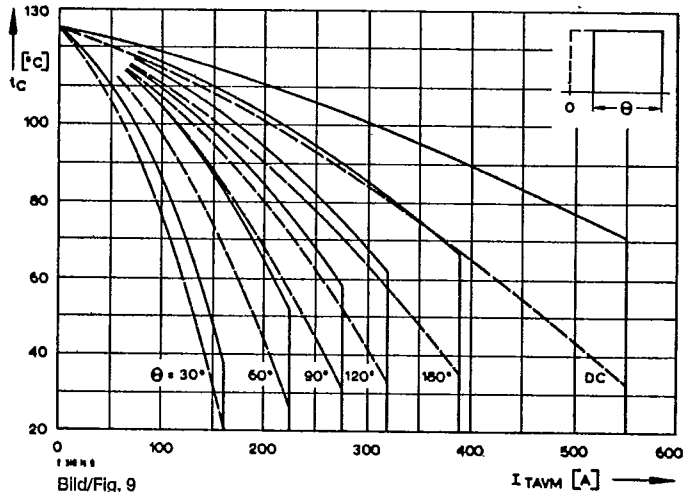
**Bild/Fig. 6**  
Höchstzulässige Kühlmitteltemperatur  $t_A$  bei verstärkter beidseitiger Kühlung, Kühlkörper K 0,12 F,  $V_L = 50$  l/s.  
Maximum allowable cooling medium temperature  $t_A$  at forced two-sided cooling, heatsink type K 0.12 F,  $V_L = 50$  l/s.



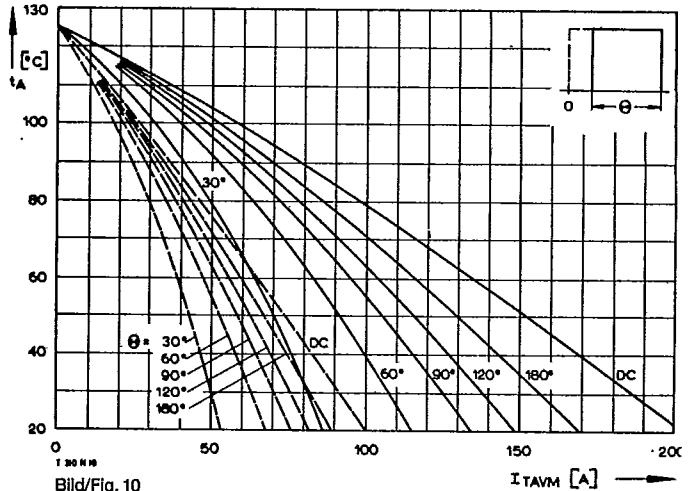
Bild/Fig. 7  
 Transienter innerer Wärmewiderstand  $Z_{(th)JC}$   
 Transient thermal impedance, junction to case,  $Z_{(th)JC}$   
 - - - - - anodenseitige Kühlung/anode sided cooling  
 ————— beidseitige Kühlung/two-sided cooling



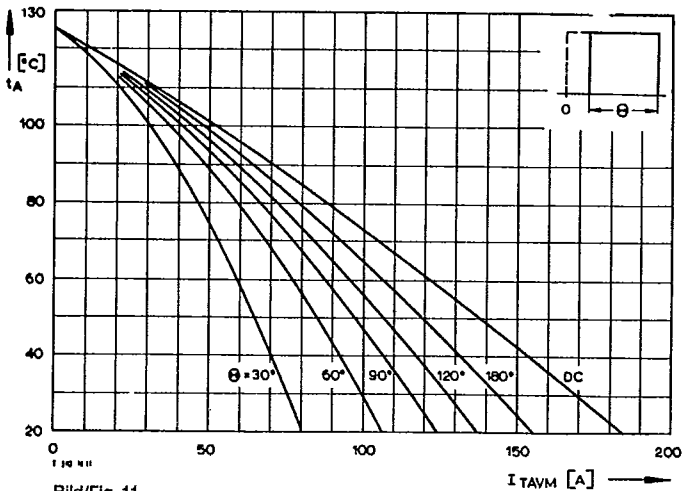
Bild/Fig. 8  
 Durchlaßverlustleistung  $P_{TAV}$ /On-state power loss  $P_{TAV}$   
 Parameter: Stromflußwinkel  $\theta$ /current conduction angle  $\theta$



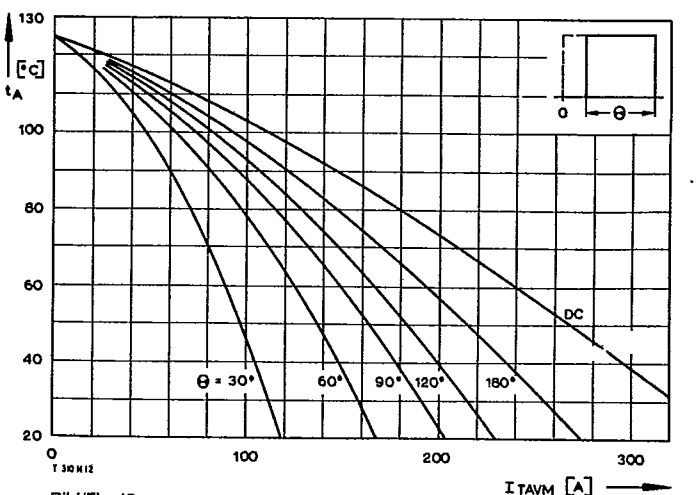
Bild/Fig. 9  
 Höchstzulässige Gehäusetemperatur  $t_c$   
 Maximum allowable case temperature  $t_c$   
 - - - - - anodenseitige Kühlung/anode sided cooling  
 ————— beidseitige Kühlung/two-sided cooling



Bild/Fig. 10  
 Höchstzulässige Kühlmitteltemperatur  $t_A$  bei anodenseitiger Kühlung,  
 Kühlkörper KL 91 C  
 Maximum allowable cooling medium temperature  $t_A$  at anode side cooling,  
 heatsink type KL 91 C  
 - - - - - Luftselbstkühlung/natural cooling  
 ————— verstärkte Kühlung/forced cooling,  $V_L = 50 \text{ l/s}$

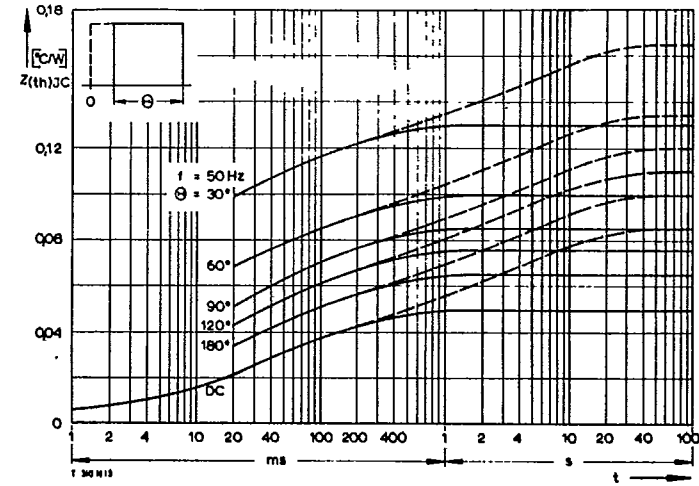


Bild/Fig. 11  
 Höchstzulässige Kühlmitteltemperatur  $t_A$  bei beidseitiger Luftselbstkühlung,  
 Kühlkörper K 0,36 S.  
 Maximum allowable cooling medium temperature  $t_A$  at natural two-sided cooling,  
 heatsink type K 0.36 S.

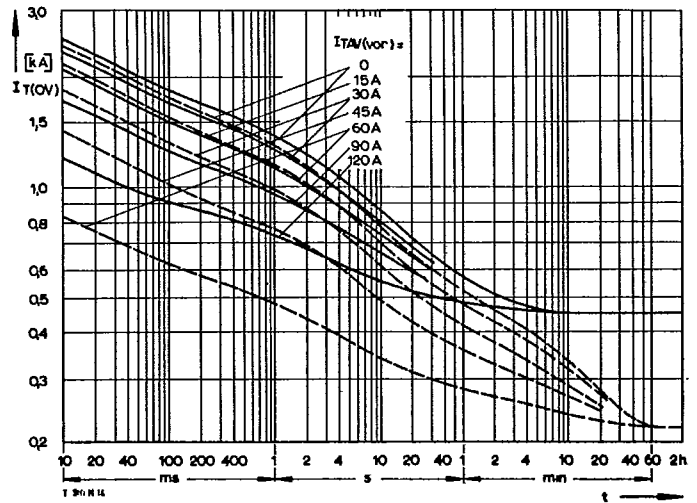


Bild/Fig. 12  
 Höchstzulässige Kühlmitteltemperatur  $t_A$  bei verstärkter beidseitiger Kühlung,  
 Kühlkörper K 0,12 F,  $V_L = 50 \text{ l/s}$ .  
 Maximum allowable cooling medium temperature  $t_A$  at forced two-sided cooling,  
 heatsink type K 0.12 F,  $V_L = 50 \text{ l/s}$ .

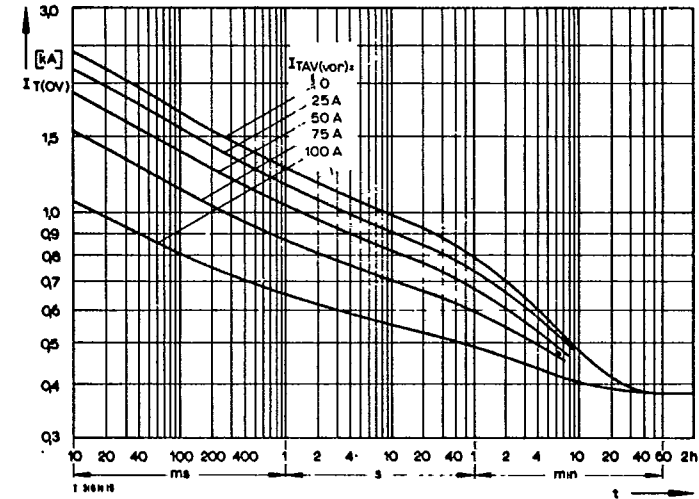
T 308 N



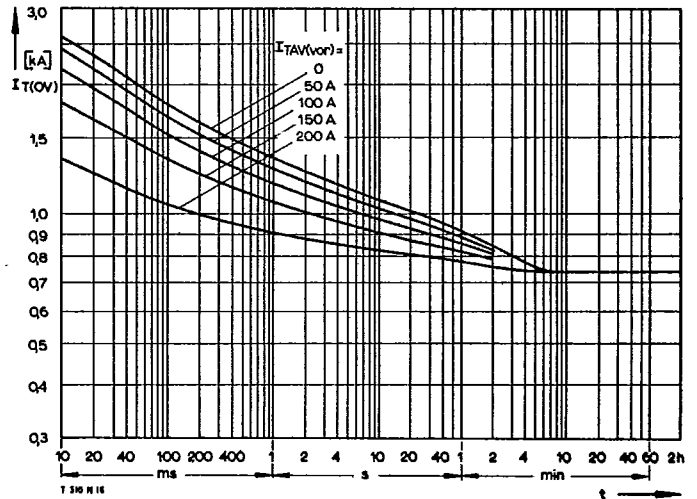
Bild/Fig. 13  
 Transienter innerer Wärmewiderstand  $Z_{(th)JC}$   
 Transient thermal impedance, junction to case,  $Z_{(th)JC}$   
 - - - - - anodenseitige Kühlung/anode sided cooling  
 ——— beidseitige Kühlung/two-sided cooling



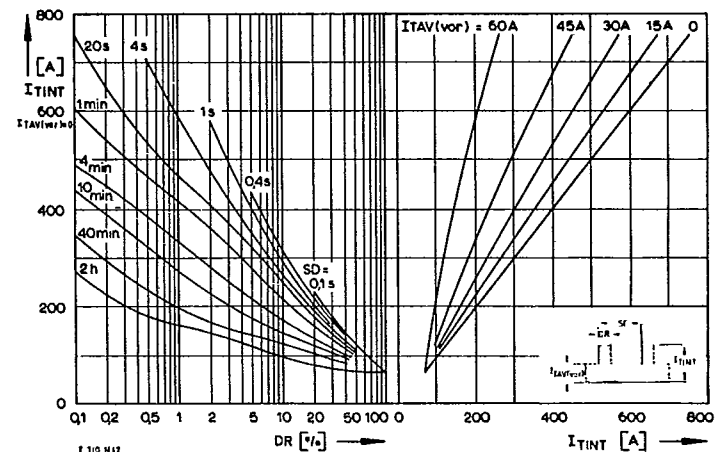
Bild/Fig. 14  
 Überstrom  $I_{T(OV)}$  bei anodenseitiger Kühlung, Kühlkörper KL 91 C  
 Overload on-state current  $I_{T(OV)}$  at anode side cooling, heatsink type KL 91 C  
 - - - - - Luftselbstkühlung/natural cooling,  $t_A = 45^\circ\text{C}$   
 ——— verstärkte Kühlung/forced cooling,  $V_L = 50 \text{ l/s}$ ,  $t_A = 35^\circ\text{C}$



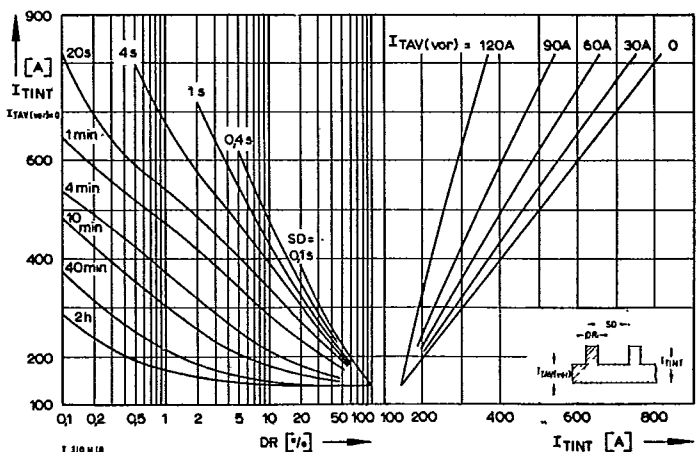
Bild/Fig. 15  
 Überstrom  $I_{T(OV)}$  bei beidseitiger Luftselbstkühlung,  $t_A = 45^\circ\text{C}$ , Kühlkörper K 0,36 S.  
 Overload on-state current  $I_{T(OV)}$  at natural two-sided cooling,  $t_A = 45^\circ\text{C}$ , heatsink type K 0.36 S.  
 Parameter: Vorlaststrom/pre-load current  $I_{TAV(vor)}$



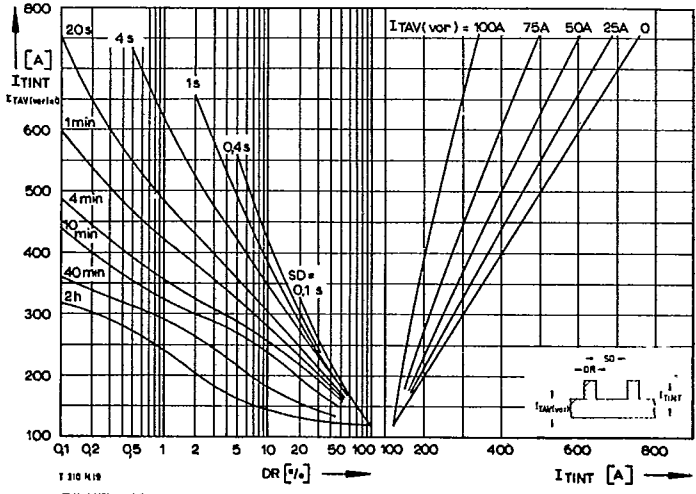
Bild/Fig. 16  
 Überstrom  $I_{T(OV)}$  bei verstärkter beidseitiger Kühlung,  $t_A = 35^\circ\text{C}$ , Kühlkörper K 0,12 F,  $V_L = 50 \text{ l/s}$ .  
 Overload on-state current  $I_{T(OV)}$  at forced two-sided cooling,  $t_A = 35^\circ\text{C}$ , heatsink type K 0.12 F,  $V_L = 50 \text{ l/s}$ .  
 Parameter: Vorlaststrom/pre-load current  $I_{TAV(vor)}$



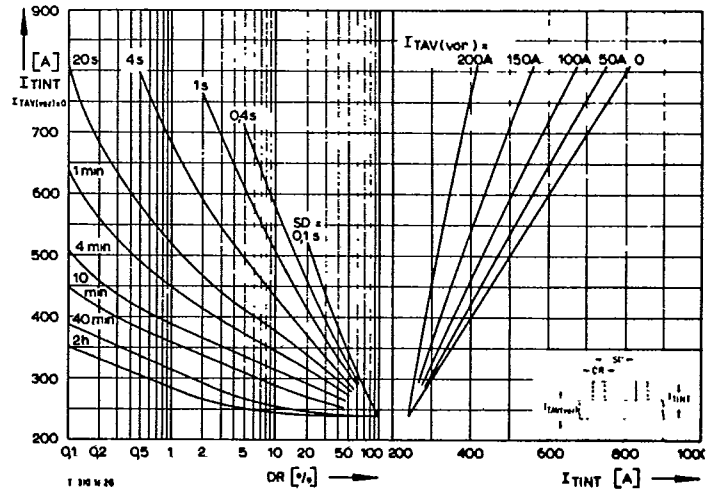
Bild/Fig. 17  
 Höchstzulässiger Durchlaßstrom  $I_{TINT}$  bei Aussetzbetrieb und anodenseitiger Luftselbstkühlung,  $t_A = 45^\circ\text{C}$ , Kühlkörper KL 91 C.  
 Limiting on-state current  $I_{TINT}$  during intermittent operation at natural anode sided cooling,  $t_A = 45^\circ\text{C}$ , heatsink type KL 91 C.



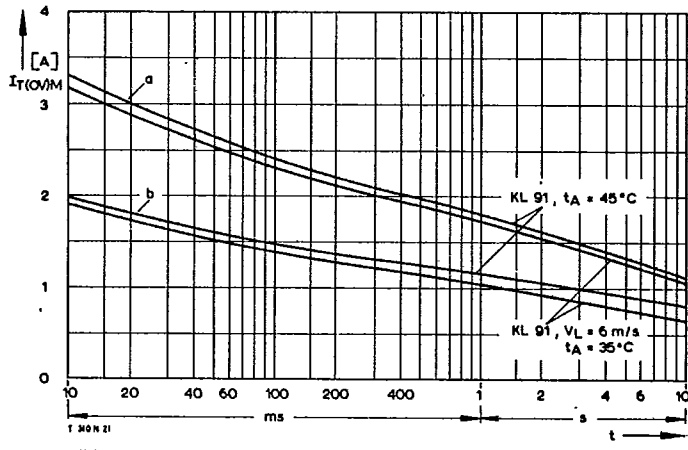
Bild/Fig. 18  
 Höchstzulässiger Durchlaßstrom  $I_{TINT}$  bei Aussetzbetrieb und verstärkter anodenseitiger Kühlung,  $t_A = 35^\circ\text{C}$ , Kühlkörper KL 91 C,  $V_L = 50 \text{ l/s}$ .  
 Limiting on-state current  $I_{TINT}$  during intermittent operation at forced anode-sided cooling,  $t_A = 35^\circ\text{C}$ , heatsink type KL 91 C,  $V_L = 50 \text{ l/s}$ .



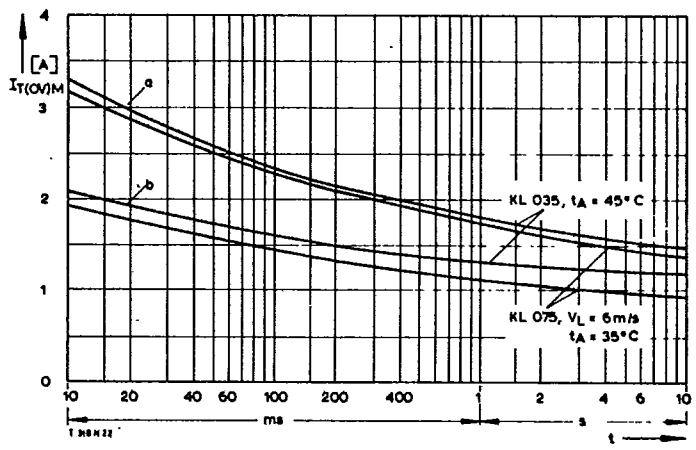
**Bild/Fig. 19**  
 Höchstzulässiger Durchlaßstrom  $I_{TINT}$  bei Aussetzbetrieb und **natürlicher beidseitiger Kühlung**,  $t_A = 45^\circ\text{C}$ , Kühlkörper **K 0,36 S**.  
 Limiting on-state current  $I_{TINT}$  during intermittent operation at **natural two-sided cooling**,  $t_A = 45^\circ\text{C}$ , heatsink type **K 0.36 S**.  
 Parameter: Spieldauer/cycle duration  $SD$   
 Vorlaststrom/pre-load current  $I_{TAV(vor)}$



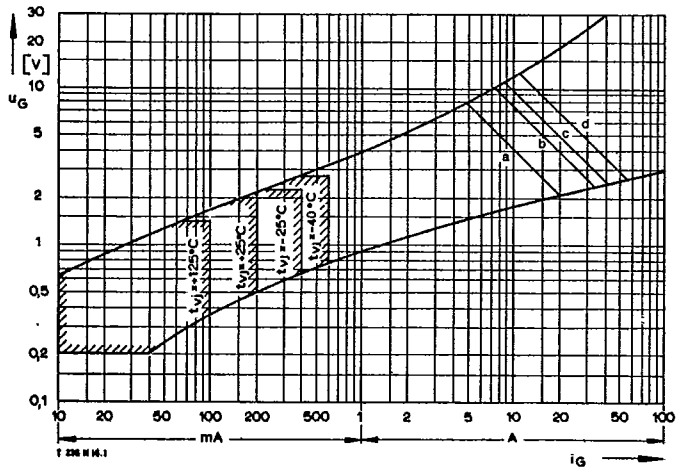
**Bild/Fig. 20**  
 Höchstzulässiger Durchlaßstrom  $I_{TINT}$  bei Aussetzbetrieb und **verstärkter beidseitiger Kühlung**,  $t_A = 35^\circ\text{C}$ , Kühlkörper **K 0,12 F**,  $V_L = 50 \text{ l/s}$ .  
 Limiting on-state current  $I_{TINT}$  during intermittent operation at **forced two-sided cooling**,  $t_A = 35^\circ\text{C}$ , heatsink type **K 0.12 F**,  $V_L = 50 \text{ l/s}$ .  
 Parameter: Spieldauer/cycle duration  $SD$   
 Vorlaststrom/preload current  $I_{TAV(vor)}$



**Bild/Fig. 21**  
 Grenzstrom  $I_{T(OV)M}$  bei **anodenseitiger Kühlung**, Kühlkörper **KL 91 C**,  $U_{RM} = 0,8 U_{RRM}$ .  
 Limiting overload on-state current  $I_{T(OV)M}$  at **anode-sided cooling**, heatsink type **KL 91 C**,  $U_{RM} = 0,8 U_{RRM}$ .  
 a – Belastung aus Leerlauf/current surge under no-load conditions  
 b – Belastung nach Betrieb mit Dauergrenzstrom  $I_{TAVM}$ / current surge occurs during operation at limiting mean on-state current rating  $I_{TAVM}$



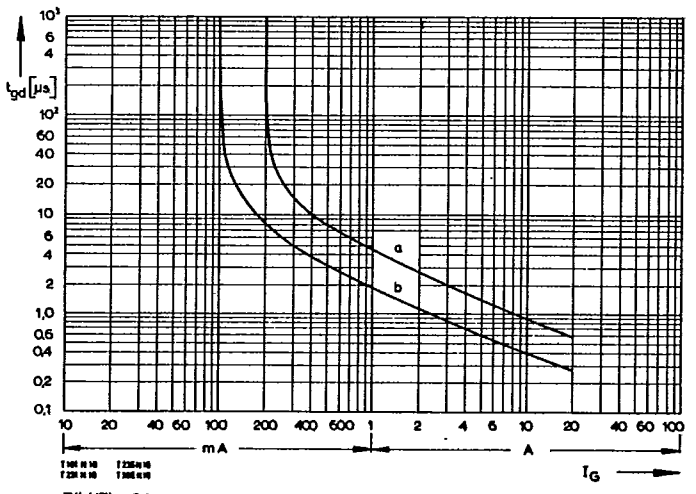
**Bild/Fig. 22**  
 Grenzstrom  $I_{T(OV)M}$  bei **beidseitiger Kühlung**, Kühlkörper **K 0,36 S** und **K 0,12 F**,  $U_{RM} = 0,8 U_{RRM}$ .  
 Limiting overload on-state current  $I_{T(OV)M}$  at **two-sided cooling**, heatsink type **K 0.36 S** and **K 0.12 F**,  $U_{RM} = 0,8 U_{RRM}$ .  
 a – Belastung aus Leerlauf/current surge under no-load conditions  
 b – Belastung nach Betrieb mit Dauergrenzstrom  $I_{TAVM}$ / current surge occurs during operation at limiting mean on-state current rating  $I_{TAVM}$



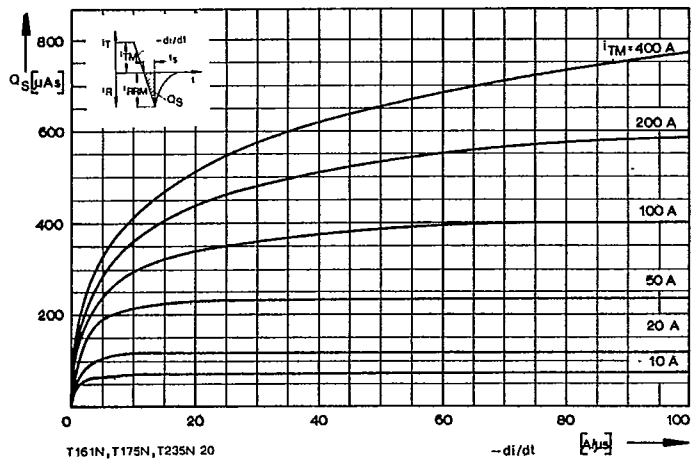
**Bild/Fig. 23**  
 Zündbereich und Spitzensteuerleistung bei  $u_D \geq 6 \text{ V}$ .  
 Gate characteristic and peak gate power dissipation at  $u_D \geq 6 \text{ V}$ .  
 Parameter:  

Steuerimpulsdauer/Pulse duration $t_g$	a	b	c	d
[ms]	10	1	0,5	0,1

 Höchstzulässige Spitzensteuerleistung/  
 Maximum allowable peak gate power [W] 40 80 100 150



**Bild/Fig. 24**  
 Zündverzögerungszeit  $t_{gd}$  bei  $I_{TM} = 100 \text{ A}$ ,  $t_{vj} = 25^\circ\text{C}$ .  
 Gate controlled delay time  $t_{gd}$  at  $I_{TM} = 100 \text{ A}$ ,  $t_{vj} = 25^\circ\text{C}$ .  
 a – äußerster Verlauf/limiting characteristic  
 b – typischer Verlauf/typical characteristic

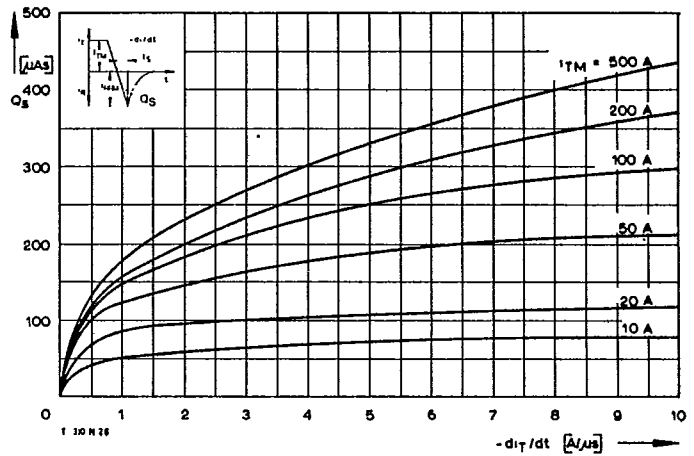


Bild/Fig. 25

Nachlaufladung  $Q_S$  in Abhängigkeit von der abkommutierenden Stromsteilheit  $-di/dt$  bei  $t_{vj} = 125^\circ\text{C}$ . – Der angegebene Verlauf wird von 90% aller Thyristoren nicht überschritten.

Lag charge  $Q_S$  versus the rate of decay of the on-state current  $-di/dt$  at  $t_{vj} = 125^\circ\text{C}$ . – These curves are valid for 90% of all thyristors.

Parameter: Durchlaßstrom  $I_{TM}$ /On-state current  $I_{TM}$



Bild/Fig. 26

Ausschnitt aus Bild 25/Detail of fig. 25